

EXPLICATION DES PLANCHES

PLANCHE I

FIG. 1. — Point enflammé de la nageoire caudale d'une larve de *Bombinator igneus*, 72 heures après la cautérisation par le nitrate d'argent. — *a*. Phagocytes renfermant du pigment et des globules rouges; — *b*, *c*. Cellules étoilées, renfermant des débris de globules rouges; — *d*. Un phagocyte dans l'intérieur d'un vaisseau lymphatique.

FIG. 2. — Un kyste de la grégarine du lombric entouré d'une cuticule épaisse et difforme, et d'un follicule composé de tissu conjonctif.

FIG. 3. — Un kyste du même parasite, dont il ne reste que des débris cuticulaires.

FIG. 4. — Un Rhabditis, au milieu d'une masse de phagocytes. — *c*. Cuticule épaisse et difforme du parasite.

FIG. 5. — Un autre Rhabditis, renfermé dans la masse des phagocytes du lombric. — *c*. Cuticule du parasite, composée de plusieurs couches concentriques.

PLANCHE II

FIG. 1. — Un kyste de la grégarine du lombric, avec son contenu divisé en cellules. Le kyste est entouré d'un follicule composé du tissu conjonctif.

FIG. 2. — Une masse de phagocytes du lombric entourant un kyste de grégarine détruit.

FIG. 3. — Exemple de chimiotaxie positive. Un plasmode de *Didymium farinaceum* qui a plongé ses appendices dans une infusion de feuilles.

FIG. 4. — Exemple de chimiotaxie négative. Le plasmode de la fig. 3 s'éloignant d'une solution de quinine à 0,1 p. 100.

FIG. 5. — Un autre plasmode de *Didymium* repoussé par le chlorhydrate de quinine à 0,1 p. 100.

FIG. 6. — Le même plasmode, 5 heures après que la quinine a été remplacée par une infusion de feuilles. La chimiotaxie négative de la figure 5 s'est transformée en chimiotaxie positive.

FIG. 7. — Un leucocyte de la salamandre. — *a.* Sphère d'attraction (d'après FLEMMING).

FIG. 8. — Un clasmatocyte du mésentère d'un *Triton taeniatus*.

PLANCHE III

FIG. 1. — Un kyste de grégarine entouré par des phagocytes du lombric. Grossissement : oculaire 4 et système D de ZEISS.

FIG. 2. — Un leucocyte éosinophile de l'homme (d'après GABRITCHEWSKY).

FIG. 3. — Une cellule d'Ehrlich du rat blanc.

FIG. 4. — Une cellule géante de la rate de la gerbille. — *a.* Enveloppe du bacille; — *b.* bacille de Koch. — La rate, traitée par la liqueur de FLEMMING, a été colorée par le Gram et l'éosine. Grossissement : oculaire 3 et système 1/18 de ZEISS.

FIG. 5. — Une cellule géante de la rate de la gerbille, renfermant un corps calcaire avec un bacille double. Même grossissement. Coloration par l'hématoxyline et la fuchsine de ZIEHL.

FIG. 6. — Une autre cellule géante dans l'intérieur de la-

quelle on distingue le bacille entouré de couches concentriques. Traitement et coloration comme dans la figure 5. Oculaire 2, système 1/18.

FIG. 7. — Une cellule géante avec un corps calcaire qui ne renferme que la trace du bacille *b.* Fuchsine, hématoxyline. 2 + 1/18.

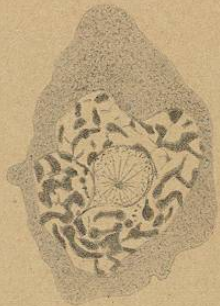
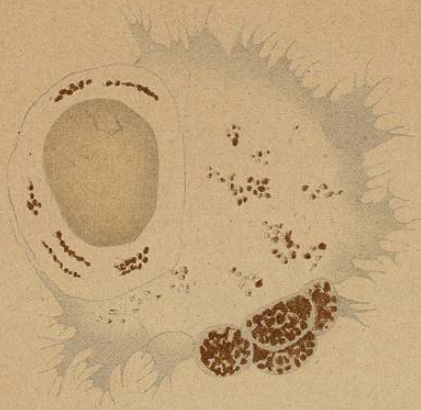
FIG. 8. — Une autre cellule géante, dans laquelle le bacille *b* s'est transformé en un corps coloré en rose pâle.

FIG. 9. — Une cellule géante renfermant un corps calcaire définitivement formé.



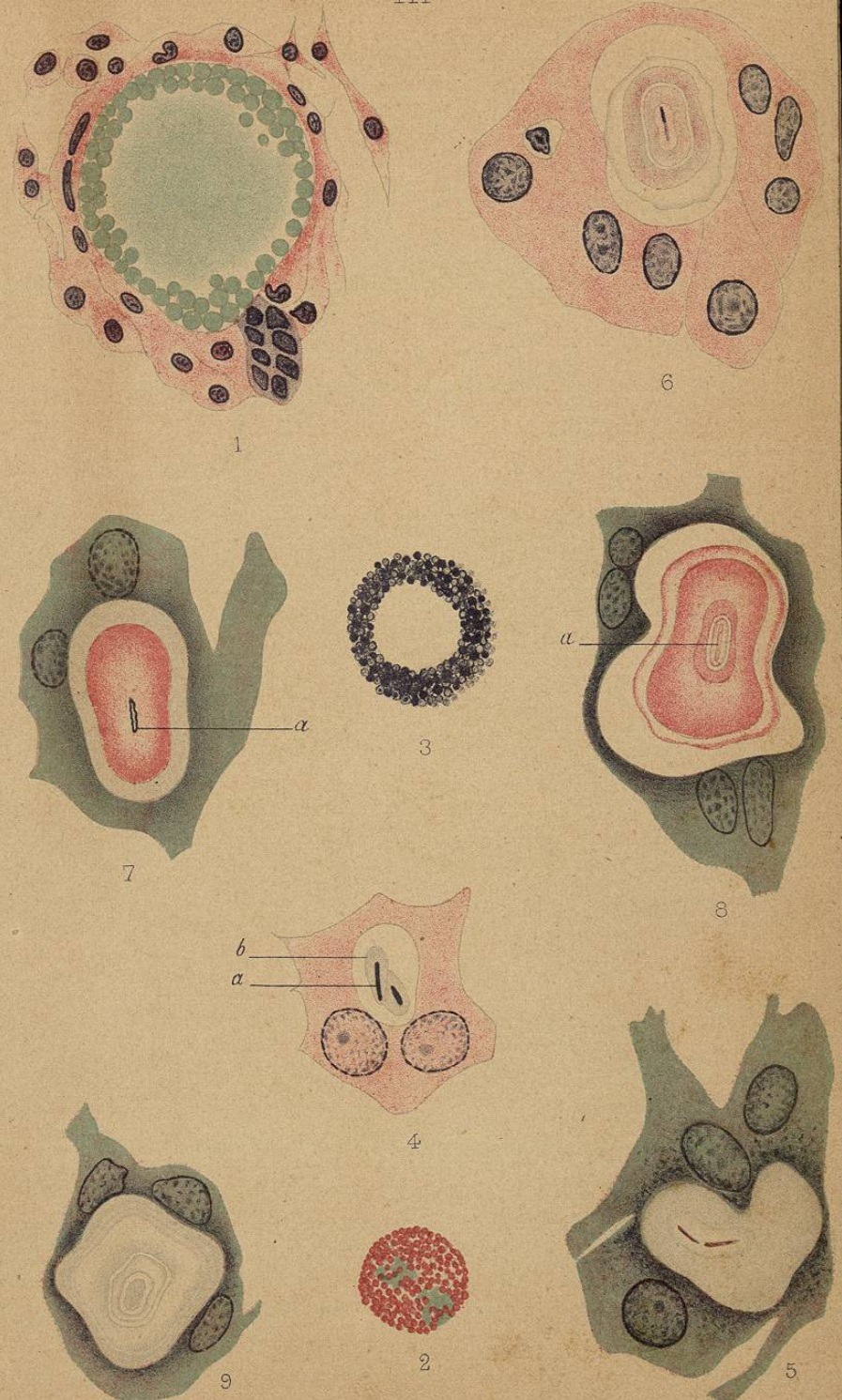
000293

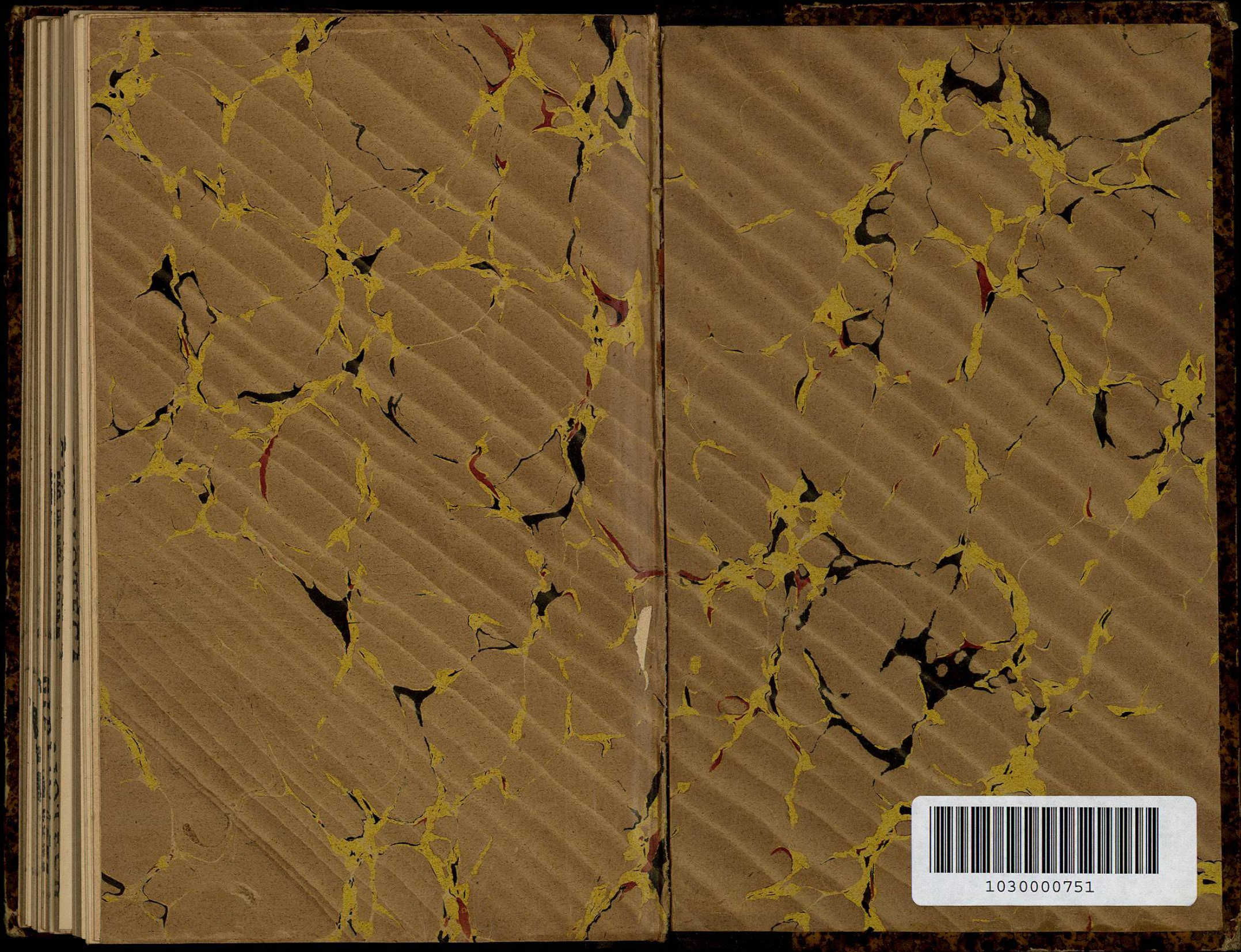






III





1030000751

